

I-12 高知海岸の海岸カスプの特性について

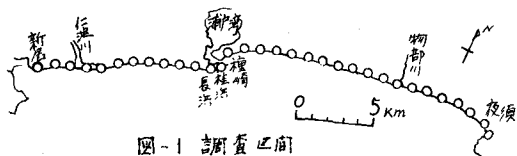
高知大学農学部 正員 玉井 佐一

1 まえがく

海岸の汀線付近に形成される Rhythymical 波状地形の生因については海流流速が関連し、その解明は複雑である。筆者は Cusp の形状と保持性との関連性について事実実験的に検討してみたが、今回は高知海岸の cusp の形状と海流特性について若干の考察を行つたのでこれを報告する次第である。

2 調查方法

高知海岸の新居~波線までの約30Km(図-1 参照)の砂漠海岸を調査対象区间として、航空写真と一部実地測量によつて cusp と span および幅序などについて測定すると共に過去の調査資料(1952)と海浜勾配とくに海岸部の粒度組成、特に沿岸方向分布について考察した。航空写真からの読み取りは正確な縮尺の補正⁽³⁾が必要であるが、ニードル構造物例の海岸堤長更変測し補正する方法をとつた。



圖一 調查區間

3 結果と考察

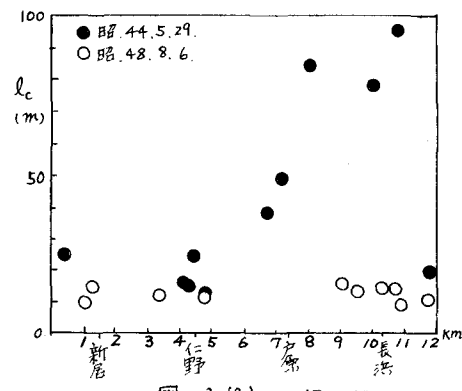
Cusp の span の大きさは数 cm ものから数 100 m,
 さらに数 km にも及ぶものがあるが、白井・土屋は、⁴⁾ 紙線が
 前進していく部分と後退していく部分とが交互に波状
 の海岸地形を形成し、一般に水面上にわたる數 100 m 以上
 のものを large cusp とし、通常前進部に形成されるものを
 beach cusp と区別している。この調査における
 cusp を二つに従って区別した。図-2(a),(b),(c)は前進部
 に形成された beach cusp の span l_c の沿岸方向の分布
 である。これよりわかるように全般を通じて $l_c = 7 \sim 15$ m
 のものが多い。しかし十市、戸原および長浜海岸では他
 海岸より大きな span が形成され、特に長浜海岸では昭
 和 44.5 月調査では $l_c = 70 \sim 90$ m に及ぶものを見出された。
 全般的に昭和 5 月調査によるものが大きい。このよう
 な cusp の大きさの変化は経年的な変化と云うより、む
 しろこの時期の波浪特性に大きく左右されたことが考
 えられる。表-1 は久我海岸における昭 50.1.23 日の荒天
 時 ($T = 8 \sim 10$ sec, $H = 1 \sim 2.5$ m 目視観測) の span l_c の
 例で、翌 24 日の平穏時 ($T = 10$ sec, $H = 40 \sim 70$ cm 目視観測)
 の他の比較である。二つによれば波特性の変化が比較的
 速やかに海岸に影響し、Cusp の span が小さくなること
 ることがわかる。しかしこれ以後は $l_c = 10 \sim 20$ m と古

[文献] 1) 王井: 力矩 τ^0 形成上胞子研究; 第24回海原江濱文集, 1974;

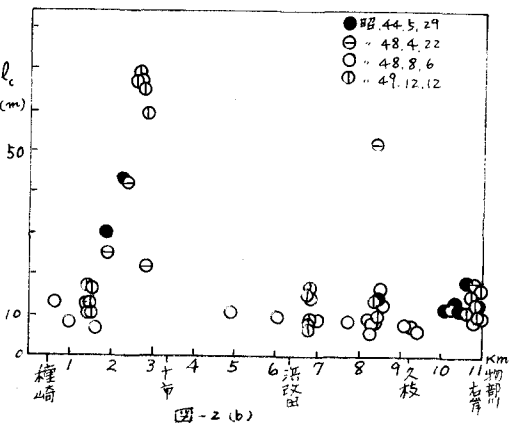
2) 上森：高知知事公報調査報告書、44-42~44。

3) 田中 小笠、小笠原；海淡雙形鮑屬資源(加報)；淺水枝珊瑚資料
4) 自持

4) 直井、土壁; 大三總海岸: 有竹子海岸變形特徵: 1-111(2) 竹大防護帶



-2 (a) Cusp o span



2 - 2 (b)

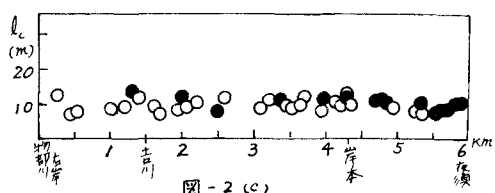


图 - 2 (c)

たが二のようなく入射波浪の変化にともない、 $cusp$ or $span$ の顕著に變化する地域は海岸の特性、測定の海浜勾配などによつて定まるようであつて、その地域として十市、長浜海岸が相應するように考へられる。

$cusp$ の幅の調査結果で $L_c = 1 \sim 7m$ が大部分で $span$ の大きさの様、大きさを幅で見られた。図-3は large $cusp$ の調査結果を示すものである。

これよりわかるように $span\ l_c = 800 \sim 2000m$ のものが見られ、並出し物部川河口以西から櫛崎までと、長浜～戸倉海岸に形成され、当然この下り砂浜海岸が比較的長い $L_c = 3$ に形成され、物部川河口より十市に至るにしたがって $span$ が小さくなつてゐる。Harris⁽⁵⁾ は引線に波が直角に入射する場合の海浜流パターンにハバク線附近の小さな循環流とともに碎波堤は近と中心となる大きな循環流が存在することを示してゐる。上記の beach $cusp$ は満潮時に前者の小さな循環流によって波状地形が形成され、図-3によると large $cusp$ は後者の大きな循環流によつて形成されたことが考へられ、特に小さな循環流は Goryczki⁽⁶⁾ の云う Sheetflood の形成に影響している。このことは実験⁽⁷⁾ において認められた。図-1は高知海岸の海浜勾配を示したものである。図-2の $cusp$ の $span$ を $7m$ とせよ見ると前浜勾配 A が意在と二三の $cusp$ 。 $span\ l_c$ が大きくなるようである。このように傾向は著者の実験における初期勾配の効果とは逆の現象であるが、実験で $cusp$ 形成後、前浜勾配と beach $cusp$ の L_c との関係とは同じ傾向を示す。高知海岸のように海岸堤が築造され、自然海岸のようなる長い砂浜でもなく限局されてゐる場合、自然海岸での $cusp$ の形成とは異なりこれが考へらねばならない。二つめについては今後実験および現地調査によってこころに譲計して行く考へである。図-5は引継渠の漏斗分岐係数 $S_0 = \sqrt{A_{out}/A_{in}}$ の沿岸方向分布である。調査年によつてその分布は多少異なるが、 $cusp$ の l_c または L_c の存在は認められない。たゞ新居～桂浜間で昭和41年、42、43で S_0 の値が小さくなり、侵食がこの年間に減少していふことが見られ、一方久松～桂浜間に S_0 が大きくなり侵食が進んでいふことがわかる。このような傾向は建設省高知工事事務所による昭和41～45年の引継渠調査結果にも見られる。実地調査では beach $cusp$ の沖側西部の海浜砂の粒径が大きく、 $cusp$ 谷部の粒径が細かく、4.5とか3.5、崩壊調査項目が必ずしも同一年度ではなく、 $cusp$ の形状と海浜特性の明確な関係は得られないが、今後さらに検討するに當り波浪特性の変動と $cusp$ の変化などについて検討を進めた考へである。

文献(5) Harris, T.F.W. Field and model studies of the nearshore circulation; Ph.D. thesis, Univ. of Miami, 1967.

(6) Goryczki, H.A. Sheetflood structure; Journ. of Geology, Vol. 81 No. 1, 1973.

表-1

S.50.1.23. 満潮時 l_c AM 11:0 (m)	S.50.1.24. 半潮時 l_c AM 11:0 (m)
41.	25.
38.	40.
24.	13. 9.

